

การสังเคราะห์อนุมูลไฮดรอกซิลในน้ำพลาสมา

ด้วยระบบพลาสมาไกลดิงอาร์ค

Synthesis of Hydroxyl Radical in Plasma-activated Water by Gliding Arc Plasma

พฤติพงษ์ พฤติวัลภ์* และ คมกฤต เล็กสกุล

Pruetipong Pruetikun* and Komkrit Leksakul

คณะวิศวกรรมศาสตร์ มหาวิทยาลัยเชียงใหม่ 239 ต.สุเทพ อ.เมือง จ.เชียงใหม่ 50200

Faculty of Engineering, Chiang Mai University, 239, Suthep, Muang, Chiang Mai, 50200, Thailand

*E-mail: piaro@windowslive.com, Tel.: 088-776-8646

บทคัดย่อ

งานวิจัยนี้มีวัตถุประสงค์เพื่อศึกษาการสังเคราะห์อนุมูลไฮดรอกซิลในรูปน้ำพลาสมาด้วยระบบพลาสมาไกลดิงอาร์ค โดยเบื้องต้นได้ทดลองสร้างสภาวะพลาสมา แล้วทำการวัดแสงพลาสมาด้วยเครื่องออปติคัลอิมิตชันสเปกโตรมิเตอร์ เพื่อยืนยันการเกิดอนุมูลไฮดรอกซิล จากนั้นจึงทดลองเปรียบเทียบการใช้น้ำกลั่นและไมโครบับเบิลเป็นวัตถุดิบในการสังเคราะห์อนุมูลไฮดรอกซิล รวมถึงศึกษาพฤติกรรมการคงอยู่ของอนุมูลไฮดรอกซิลในรูปไฮโดรเจนเปอร์ออกไซด์ ทำยสุดศึกษาหาปัจจัยที่ส่งผลต่อประสิทธิภาพในการสังเคราะห์อนุมูลไฮดรอกซิลโดยใช้แผนการทดลองแบบแฟกทอเรียลเชิงเศษส่วน ผลการวัดแสงพลาสมาพบว่า มีค่าพีคที่ความยาวคลื่น 310 nm เกิดขึ้นสูง หมายถึง ระบบพลาสมาไกลดิงอาร์คสามารถสังเคราะห์อนุมูลไฮดรอกซิลได้ และพบว่าการใช้ไมโครบับเบิลเป็นวัตถุดิบสามารถสังเคราะห์อนุมูลไฮดรอกซิลได้ดีกว่าน้ำกลั่น โดยการคงอยู่ของอนุมูลไฮดรอกซิลในรูปไฮโดรเจนเปอร์ออกไซด์มีแนวโน้มว่าความเข้มข้นลดลงตามเวลา ซึ่งปัจจัยที่ส่งผลต่อประสิทธิภาพการสังเคราะห์อนุมูลไฮดรอกซิลมีนัยสำคัญมีทั้งหมด 4 ปัจจัย ได้แก่ ปริมาณโซเดียมไบคาร์บอเนต ระยะห่างระหว่างขั้วไฟฟ้า อัตราการจ่ายก๊าซอาร์กอน และอัตราส่วนการผสมก๊าซออกซิเจน

คำสำคัญ: อนุมูลไฮดรอกซิล ระบบพลาสมาไกลดิงอาร์ค น้ำพลาสมา ไมโครบับเบิล

ABSTRACT

This research aimed to study the synthesis of hydroxyl radicals in form of plasma-activated water by gliding arc plasma. Initially, plasma experiments were conducted to confirm the occurrence of hydroxyl radical by using optical emission spectrophotometer, and then compared the use of distilled water and microbubble as raw material for the synthesis of hydroxyl radicals. Then, the existence of hydroxyl radicals in the form of hydrogen peroxide was studied. Finally, the factors that affect the synthesis of hydroxyl radical from are investigated by using fractional factorial experiments. Plasma measurements show that the peak at 310 nm occurs, meaning that the gliding arc plasma can synthesize hydroxyl radicals. It was found that the use of microbubble as a raw material could better synthesize hydroxyl radicals than distilled water. In addition, the existence of hydroxyl radical in the form of hydrogen peroxide is likely to decrease with time. Finally, the factors that affect the synthesis of hydroxyl radicals are amount of sodium bicarbonate, gap between electrodes, argon flow rate, and oxygenation ratio.

Keyword: Hydroxyl Radical, Gliding Arc Plasma, Plasma-activated Water, Microbubble

1. บทนำ

ในประเทศไทย ประชากรส่วนใหญ่ที่ประกอบอาชีพเกษตรกรรมนิยมใช้สารกำจัดศัตรูพืช โดยการใช้สารดังกล่าวจะทำให้การเพาะปลูกมีประสิทธิภาพมากขึ้น แต่การใช้สารดังกล่าวจะทำให้เกิดสารพิษที่ตกค้างบนผักผลไม้ ซึ่งเมื่อบริโภคจะเกิดผลกระทบต่อสุขภาพทั้งในระยะสั้นและระยะยาว และยังส่งผลกระทบต่อสิ่งแวดล้อม โดยถูกบางประเทศกีดกันสินค้าที่มีสารพิษตกค้างเกินมาตรฐาน ทำให้ประเทศสูญเสียรายได้มหาศาล [1] ปัจจุบันการลดสารพิษตกค้างในระดับครัวเรือนสามารถทำได้โดยการล้างผักผลไม้ด้วยน้ำไหล หรือการแช่ในน้ำโดยเติมสารเคมีบางชนิด ได้แก่ น้ำส้มสายชู ค่างทับทิม ผงฟู น้ำเกลือ และไฮโดรเจนเปอร์ออกไซด์ เป็นต้น ซึ่งวิธีดังกล่าวสามารถลดสารพิษตกค้างได้ดี เมื่อมีการขจัดผิวและแช่ในระยะเวลาที่นานพอ [2] ซึ่งไม่เหมาะในระดับอุตสาหกรรม เนื่องจากใช้เวลานานและต้องใช้แรงงานในการขจัด ซึ่งอาจทำให้เกิดความเสียหายต่อรูปลักษณะภายนอก ส่งผลให้มูลค่าและอายุในการเก็บรักษาของสินค้าลดลง

ในปัจจุบันมีการพัฒนาแนวคิดการกำจัดสารพิษตกค้างบนผักผลไม้แบบใหม่ที่มีประสิทธิภาพมากขึ้น คือการผลิตสารอนุโมลอิสระ โดยเฉพาะอนุโมลไฮดรอกซิล แล้วนำไปสลายโมเลกุลสารพิษตกค้างบนผิวผักผลไม้ให้กลายเป็นสารที่ไม่เป็นพิษ หรือเป็นพิษน้อยจนไม่เป็นอันตรายต่อผู้บริโภค [3] ซึ่งอนุโมลดังกล่าวสามารถทำปฏิกิริยากับสารอินทรีย์ได้รวดเร็ว ไม่ทำให้สี หรือคุณสมบัติภายในของผักหรือผลไม้เปลี่ยนแปลง นอกจากนี้อนุโมลไฮดรอกซิลยังมีฤทธิ์ในการยับยั้งการเจริญเติบโตของเชื้อโรคบางชนิดได้ [4]

สำหรับการสังเคราะห์อนุโมลไฮดรอกซิลนั้นสามารถทำได้หลายวิธีการ เช่น วิธีการฉายรังสี วิธีปฏิกิริยาของเพนตัน วิธีปฏิกิริยาการเร่งปฏิกิริยาคู่แสง วิธีไอโซนออกซิเดชัน วิธีออกซิเดชันแบบเปียก วิธีการฉายคลื่นความถี่สูง และวิธีพลาสมาอนุโมลต่ำ เป็นต้น [5] โดยแต่ละวิธีก็มีข้อดีและข้อจำกัดต่าง ๆ ซึ่งเหมาะกับการใช้ประโยชน์ในแต่ละด้าน โดยสามารถแสดงได้ดังตารางที่ 1

ตารางที่ 1 การเปรียบเทียบวิธีการการสังเคราะห์อนุโมลไฮดรอกซิล

วิธีการ	ข้อดี - ข้อจำกัด
วิธีการฉายรังสี	ข้อดี - ไม่ใช้สารเคมีอันตราย ข้อจำกัด - ประสิทธิภาพต่ำ
วิธีปฏิกิริยาของเพนตัน	ข้อดี - ใช้พลังงานจากภายนอกน้อย ข้อจำกัด - กระบวนการไม่ต่อเนื่อง และต้องควบคุมสภาพความเป็นกรดของสารละลาย
วิธีปฏิกิริยาการเร่งปฏิกิริยาคู่แสง	ข้อดี - มีประสิทธิภาพในการฆ่าเชื้อโรคและลดสารตกค้างในน้ำ ข้อจำกัด - กระบวนการมีการผลิตสารเคมีอันตราย และไม่เหมาะกับวัตถุที่มีพื้นผิวซับซ้อน
วิธีไอโซนออกซิเดชัน	ข้อดี - ไม่ใช้สารเคมีอันตราย ข้อจำกัด - เกิดก๊าซไอโซนส่งผลกระทบต่อระบบหายใจ และมีประสิทธิภาพที่ต่ำเมื่อใช้ร่วมกับเทคนิคอื่น
วิธีออกซิเดชันแบบเปียก	ข้อดี - ไม่ใช้สารเคมีอันตราย ข้อจำกัด - อุณหภูมิสารละลายสูง 173-375°C
วิธีการฉายคลื่นความถี่สูง	ข้อดี - ไม่ใช้สารเคมีอันตราย, มีประสิทธิภาพ ข้อจำกัด - อุปกรณ์มีกลไกซับซ้อน และอุณหภูมิของผลิตภัณฑ์ค่อนข้างสูง
วิธีพลาสมาอนุโมลต่ำ	ข้อดี - ไม่ใช้สารเคมีอันตราย และ มีประสิทธิภาพ ข้อจำกัด - ใช้พลังงานไฟฟ้าค่อนข้างสูง

จากตารางพบว่าพลาสมาชนิดอนุโมลต่ำเป็นวิธีหนึ่งที่สามารถสังเคราะห์อนุโมลไฮดรอกซิลได้มีประสิทธิภาพ สะอาด และไม่ก่อให้เกิดสารตกค้างชนิดใหม่ [6] โดยที่สามารถควบคุมอุณหภูมิของผลิตภัณฑ์ได้ วิธีดังกล่าวจึงน่าจะเหมาะกับการใช้ลดสารพิษตกค้างบนผิวผลผลิตทางการเกษตร

สำหรับเทคโนโลยีพลาสมาอนุโมลต่ำนั้น แต่เดิมได้มีการศึกษาและพัฒนา นำมาใช้ในวงการต่าง ๆ ทั้งด้านการบำบัดน้ำเสียที่จะเกี่ยวข้องกับสารสังเคราะห์อนุโมลไฮดรอกซิล เพื่อมาสลายโมเลกุลสารเคมีที่มีความซับซ้อน

เช่น สีข้อม ให้โมเลกุลมีความซับซ้อนน้อยลง [7] หรือด้านการพัฒนาวัสดุชนิดใหม่ให้มีคุณสมบัติพิเศษ เช่น นำไฟฟ้าได้ดี น้ำหนักเบา มีความแข็งแรงสูง โดยจะเกี่ยวกับการสลายโมเลกุลให้มีขนาดเล็กลง เช่น การสังเคราะห์อนุภาคคาร์บอนนาโน [8] หรือด้านการแพทย์ที่มักจะเกี่ยวข้องกับการสังเคราะห์อนุภาคของไฮดรอกซิลและไฮโดรเจนเปอร์ออกไซด์ เพื่อนำมาฆ่าเชื้อแบคทีเรีย [9] หรือทำลายเซลล์มะเร็ง [10] ในปัจจุบันนักวิจัยเริ่มขยายขอบเขตการศึกษา โดยนำเทคโนโลยีพลาสมาอุณหภูมิต่ำมาประยุกต์ใช้ในด้านการเกษตรโดยจะสังเคราะห์อนุภาคไฮดรอกซิลในรูปของเหลวที่เรียกว่าน้ำพลาสมา มาใช้ประโยชน์ เช่น การฆ่าเชื้อแบคทีเรีย *Staphylococcus aureus* บนผิวสตรอเบอร์รี่ [11] หรือเพื่อยับยั้งการเจริญเติบโตของเชื้อราบางชนิดในเห็ด [4] และยังมี การสังเคราะห์อนุภาคไฮดรอกซิลเพื่อสลายโมเลกุลของยาฆ่าแมลง เช่น ไดคลอโรวอส มาลาโทออน และเอนโดซัลแฟน [12] เป็นต้น

โดยพลาสมาอุณหภูมิต่ำสามารถออกแบบระบบได้หลายรูปแบบ ซึ่งพลาสมาไกลดิงอาร์กเป็นรูปแบบหนึ่งที่สามารถสังเคราะห์อนุภาคไฮดรอกซิลในรูปน้ำพลาสมาได้ โดยมีจุดเด่น คือ สามารถสังเคราะห์อนุภาคไฮดรอกซิลที่มีความเข้มข้นสูง โดยที่ใช้อุปกรณ์ราคาไม่แพงนัก และใช้พลังงานไฟฟ้าต่ำกว่า รวมถึงสามารถพัฒนาเข้ากับระบบอุตสาหกรรมได้ง่ายกว่ารูปแบบอื่น [13] โดยปกติจะใช้น้ำกลั่นเป็นวัตถุดิบในการสังเคราะห์อนุภาคไฮดรอกซิลในรูปน้ำพลาสมา อย่างไรก็ตามได้มีการนำไมโครบับเบิลมาใช้เป็นวัตถุดิบแทน เพื่อเพิ่มประสิทธิภาพการฆ่าเชื้อ *Escherichia coli* ซึ่งพบว่าไมโครบับเบิลมีส่วนช่วยเสริมประสิทธิภาพในการยับยั้งการเจริญเติบโตของแบคทีเรีย อีกทั้งยังช่วยลดการใช้พลังงานในการผลิตน้ำพลาสมาด้วย [14]

แม้ว่าเทคโนโลยีพลาสมาอุณหภูมิต่ำจะมีความศึกษามากมายครอบคลุมหลากหลายสาขา แต่การศึกษากการใช้เทคโนโลยีพลาสมาอุณหภูมิต่ำทางด้านการเกษตรเป็นสิ่งใหม่สำหรับวงการพลาสมาอุณหภูมิต่ำ และกำลังเป็นที่

สนใจในปัจจุบัน ซึ่งการศึกษาการนำวิธีพลาสมาไกลดิงอาร์กมาใช้ร่วมกับไมโครบับเบิล เพื่อสังเคราะห์อนุภาคไฮดรอกซิลยังมีไม่มาก และยังไม่ได้มีการศึกษาหาปัจจัยของระบบที่ส่งผลต่อประสิทธิภาพการสังเคราะห์อนุภาคไฮดรอกซิลอย่างจริงจัง

ผู้วิจัยจึงสนใจศึกษาเพื่อพัฒนาการสังเคราะห์อนุภาคไฮดรอกซิลด้วยระบบดังกล่าวให้ดีขึ้น เพื่อให้สามารถนำไปใช้ลดสารพิษตกค้างบนพืชผลการเกษตรได้อย่างมีประสิทธิภาพ และทราบแนวทางการพัฒนาในอนาคตได้

2. ทฤษฎีที่ใช้ในงานวิจัย

2.1 พลาสมาอุณหภูมิต่ำ (Non-Thermal Plasma)

พลาสมา คือ สถานะที่ 4 ของสสารซึ่งอยู่ในรูปของก๊าซมีประจุ เพียงบางส่วนหรือทั้งหมด ซึ่งสามารถแบ่งได้ 2 ประเภท ได้แก่ พลาสมาชนิดอุณหภูมิสูง และพลาสมาชนิดอุณหภูมิต่ำ [6, 15, 16] สำหรับกระบวนการที่ต้องการสร้างอนุภาคนิวตรอนเพื่อนำไปใช้ประโยชน์ จะนิยมสร้างจากพลาสมาชนิดอุณหภูมิต่ำ เนื่องจากสามารถควบคุมปฏิกิริยาเคมีที่เกิดขึ้นได้ โดยไม่จำเป็นต้องมีกระบวนการการดับ และมีประสิทธิภาพในการใช้พลังงานสูงกว่าพลาสมาชนิดอุณหภูมิสูง [17]

เทคโนโลยีพลาสมาชนิดอุณหภูมิต่ำจะเกี่ยวข้องกับการจ่ายพลังงานไฟฟ้าแรงดันสูงไปยังขั้วไฟฟ้า โดยกระทำผ่านตัวกลาง ซึ่งอาจเป็นก๊าซหรือของเหลวชนิดต่าง ๆ เพื่อให้เกิดการคายประจุ จนสสารตัวกลางได้รับพลังงานเกิดการก่อตัวเป็นสปีชีส์ ซึ่งหมายถึงสสารในสถานะพลาสมาชนิดต่าง ๆ เช่น อิเล็กตรอน โฟตอน ไอออน โมเลกุล และอนุภาคนิวตรอน [18]

ปัจจุบันมีการนำพลาสมาชนิดอุณหภูมิต่ำมากระทำกับของเหลว ในรูปแบบการคายประจุจะออมน้ำหรือไอของของเหลว โดยมีข้อดีคือมีอัตราการแพร่ของสปีชีส์ลงสู่ของเหลวได้ดีขึ้น เนื่องจากมีพื้นที่ผิวสัมผัสระหว่างสถานะก๊าซและของเหลวมาก และช่วยลดการใช้พลังงานลง [18] โดยการคายประจุรูปแบบดังกล่าวได้แก่วิธีพลาสมา-

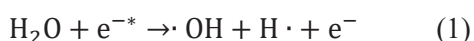
โกลดิงอาร์ก ซึ่งมีจุดเด่น คือ ได้พลาสมาที่มีความหนาแน่นของสปีชีส์สูง ซึ่งทำให้เกิดสปีชีส์หลายชนิด และระบบไม่ซับซ้อน อุปกรณ์ราคาไม่แพง [13, 19] ระบบพลาสมาโกลดิงอาร์กมีหลักการ คือ การจ่ายพลังงานไฟฟ้าแรงดันสูงไปยังขั้วไฟฟ้าที่อยู่ออกจากกันให้เกิดการอาร์กที่จุดที่แคบที่สุดของช่องว่างระหว่างขั้วไฟฟ้า และเปลวอาร์กจะเคลื่อนไปตามการไหลของก๊าซ ซึ่งจะยาวขึ้นตามแรงดันไฟฟ้าที่สูงขึ้น โดยพลาสมาบริเวณดังกล่าวจะเป็นพลาสมาชนิดอุณหภูมิสูงจนถึงบริเวณ ๆ หนึ่งเป็นเส้นแบ่งระหว่างพลาสมาชนิดอุณหภูมิสูงและอุณหภูมิต่ำ โดยจะเกิดการสูญเสียความร้อนและความไม่สมดุลด้านอุณหภูมิ บริเวณที่เป็นพลาสมาชนิดอุณหภูมิต่ำ ก๊าซที่ไหลอย่างต่อเนื่องจะผลัดเปลี่ยนให้มีความยาวมากขึ้น ทำให้ระบบต้องการกำลังไฟฟ้ามมากขึ้นเพื่อให้มีความเสถียร เมื่อความยาวเปลวยาวจนสุดความสามารถของแหล่งจ่ายจนไม่สามารถจ่ายกำลังไฟฟ้าให้ได้ กำลังไฟฟ้าจะมีค่าลดลงและเปลวหดตัว และค่าแรงดันไฟฟ้าของระบบจะลดลงกลับมายังจุดแบ่งที่เริ่มเกิดเป็นพลาสมาชนิดอุณหภูมิต่ำ ซึ่งกระบวนการจะเกิดแบบพัลส์ ซึ่งใช้ระยะเวลาในการเกิด 10 ms ต่อหนึ่งรอบ [13, 17, 19]

2.2 กลไกการเกิดอนุมูลของไฮดรอกซิล

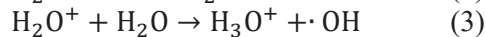
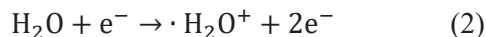
อนุมูลไฮดรอกซิล คือ รูปที่ไร้ประจุของไฮดรอกไซด์ไอออน โดยอนุมูลไฮดรอกซิลถือเป็นสารที่มีความไวในการเกิดปฏิกิริยากับสารประกอบอินทรีย์สูงมาก โดยมีฤทธิ์รอมมาจากฟลูออรีน แต่มีประสิทธิภาพสูงกว่าโอโซนสามารถนำไปประโยชน์ในทางวิทยาศาสตร์หลายด้าน เช่น การบำบัดน้ำเสีย การทำให้พื้นผิวไร้เชื้อ การสลายโมเลกุลสารอินทรีย์ [5]

อนุมูลไฮดรอกซิลเกิดขึ้นจากการเติมโมเลกุลของน้ำในกระบวนการดิสซาร์จ ทำให้อิเล็กตรอนที่มีพลังงานสูงไปชนโมเลกุลของน้ำ จนเกิดการแตกตัว เกิดการไอออนใน-เซชัน [20] และการกระตุ้นแบบสั่นหรือแบบหมุน [18] ดังสมการที่ 1-7

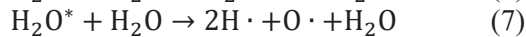
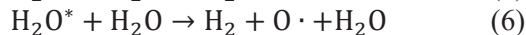
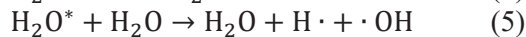
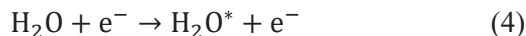
ปฏิกิริยาการแตกตัว



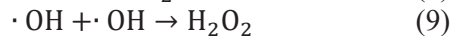
ปฏิกิริยาการเกิดไอออน



ปฏิกิริยาการกระตุ้นแบบสั่นหรือแบบหมุน

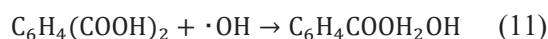


อนุมูลอิสระที่เกิดขึ้นจะทำปฏิกิริยากันเอง เพื่อให้กลับสู่รูปแบบที่เสถียรหรือมีครึ่งชีวิตที่ยาวกว่า เช่น ก๊าซไฮโดรเจน ไฮโดรเจนเปอร์ออกไซด์ และน้ำ ดังสมการที่ 8-10



อนุมูลไฮดรอกซิลมีกลไกการทำปฏิกิริยากับสารอินทรีย์ คือ การดึงอะตอมของไฮโดรเจนออกจากโมเลกุลสารอินทรีย์เพื่อสร้างโมเลกุลน้ำ และอนุมูลสารอินทรีย์ชนิดอื่น การจับกับโมเลกุลนำไฟฟ้า กลายเป็นโมเลกุลที่มีพันธะที่ไม่อิ่มตัว และการปล่อยพลังงานโดยคายประจุอิเล็กตรอน จากรูปอนุมูลไฮดรอกซิลกลายเป็นไฮดรอกไซด์ด้วยการทำปฏิกิริยากับสารอินทรีย์ [18]

การตรวจสอบยืนยันการเกิดอนุมูลไฮดรอกซิลสามารถทำได้จากการวัดแสงจากเปลวพลาสมาโดยวิธีออปติคัลอิมมิสชันสเปกโตรมิเตอร์ แต่การวัดความเข้มข้นของอนุมูลไฮดรอกซิลโดยตรงค่อนข้างซับซ้อนกว่าเนื่องจากเครื่องมือมีราคาแพง และต้องมีความเชี่ยวชาญในการใช้เครื่องมือ วิธีการที่ได้รับความนิยมจึงเป็นวิธีการวัดทางอ้อมด้วยการดักจับอนุมูล [21] ซึ่งจะเป็นการประมาณอนุมูลไฮดรอกซิลด้วยความเข้มข้นสารเคมีที่เกิดจากการทำปฏิกิริยาระหว่างอนุมูลไฮดรอกซิลกับสารที่มีความไวในการทำปฏิกิริยากับอนุมูลไฮดรอกซิลสูง แต่ไม่ทำปฏิกิริยากับอนุมูลชนิดอื่น เช่น กรดเทรฟทาลิก โดยเมื่อเติมสารดังกล่าวไปทำปฏิกิริยากับอนุมูลไฮดรอกซิลแล้วจะได้กรดไฮดรอกซิลเทรฟทาลิก [22] ดังสมการที่ 11



ซึ่งสารประกอบดังกล่าวมีฤทธิ์ดูดกลืนแสงยูวีที่ความยาวคลื่น 310 nm ตามปริมาณความเข้มข้นที่มีในสารละลาย [23]

2.3 ไมโครบับเบิล (Microbubble)

ไมโครบับเบิล คือ ฟองอากาศขนาดจุลภาค ซึ่งมีขนาดเส้นผ่านศูนย์กลางของแต่ละฟองน้อยกว่า 100 ไมครอน ซึ่งมีคุณสมบัติเป็นตัวกลางที่ช่วยให้การเกิดปฏิกิริยาเคมีมีประสิทธิภาพมากขึ้น เนื่องจากไมโครบับเบิลช่วยเพิ่มอัตราส่วนพื้นที่ผิวสัมผัสระหว่างสถานะของเหลวและก๊าซต่อปริมาตรสูง ทำให้สามารถขนถ่ายมวลสารและความร้อนได้ดี ก่อให้เกิดผลลัพท์ เช่น การแลกเปลี่ยนไอออน และการเกิดอนุมูลอิสระ โดยไมโครบับเบิลจะมีขนาดเล็กถึงจนหายไป จุดเด่นของไมโครบับเบิลอีกอย่างหนึ่ง คือ มีความเร็วการลอยตัวขึ้นสู่ผิวของเหลวต่ำ ทำให้มีเวลาสำหรับการขนถ่ายมวลสารนานกว่าฟองอากาศขนาดใหญ่ จึงเป็นเหตุผลว่าการผลิตไมโครบับเบิลให้มีขนาดยิ่งเล็กลงยิ่งดี [24-26]

2.4 การออกแบบการทดลอง

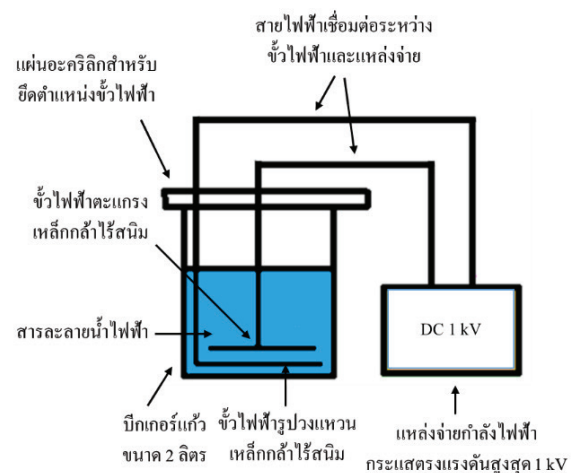
การออกแบบแผนการทดลอง คือ เทคนิคทางด้านสถิติรูปแบบหนึ่งที่เกี่ยวข้องกับการวางแผนการทดลอง โดยเปลี่ยนแปลงค่าพารามิเตอร์ของปัจจัยที่สนใจ แล้วนำผลการทดลองที่ได้มาวิเคราะห์ด้วยเทคนิคทางสถิติเพื่อที่จะให้ทราบความสัมพันธ์ระหว่างตัวแปรต้นและตัวแปรตาม ในกรณีนี้ที่ศึกษาปัจจัยจำนวนมากจะนิยมใช้การทดลองแฟกทอเรียลเชิงเศษส่วน ซึ่งเป็นการทดลองเพื่อศึกษาผลกระทบปัจจัยมากกว่า 2 ปัจจัย แต่ไม่ทำการทดลองครบทุกกรณี โดยมีข้อดีคือช่วยลดการใช้ทรัพยากรได้อย่างมหาศาล ในขณะที่ยังคงแปลผลการทดลองได้มีประสิทธิภาพ [27]

3. วิธีการดำเนินงานวิจัย

งานวิจัยนี้ได้ทำการทดลองที่ห้องปฏิบัติการพลาสมาซึ่งตั้งอยู่ที่ชั้น 1 อาคารวิจัยและถ่ายทอดเทคโนโลยี คณะวิศวกรรมศาสตร์ มหาวิทยาลัยเชียงใหม่ ซึ่งเป็นห้องทดลองปิดที่มีการควบคุมห้อง 25 องศาเซลเซียส และ

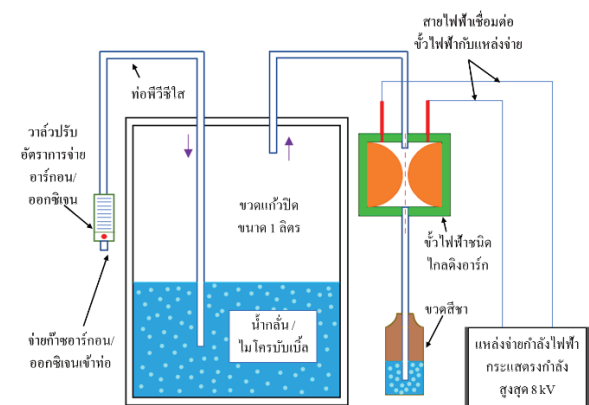
ความชื้นสัมพัทธ์ 50% แต่การวัดผลด้วยวิธีการดักจับอนุภาคนำสารละลายไปกระทำที่ภาควิชาจุลชีววิทยา ชั้น 8 อาคาร SCB2 คณะวิทยาศาสตร์ มหาวิทยาลัยเชียงใหม่ โดยระบบการสังเคราะห์อนุภาคไฮดรอกซิลที่ทีมนักวิจัยมหาวิทยาลัยเชียงใหม่ได้ออกแบบและพัฒนาขึ้นนั้นประกอบด้วย 2 ระบบ คือ ระบบการทำให้ตะกอนลอยด้วยไฟฟ้า และระบบพลาสมาโกลดิงอาร์ค ดังนี้

ระบบการทำให้ตะกอนลอยด้วยไฟฟ้า เป็นส่วนหนึ่งของระบบบำบัดน้ำเสียด้วยไฟฟ้า โดยจะเติมสารบางชนิดที่ทำหน้าที่ช่วยรวบรวมตะกอนที่ไม่ชอบน้ำ แล้วใช้พลังงานไฟฟ้าดิสชาร์จน้ำเสียให้เกิดฟองก๊าซขนาดไมครอนไปจับกับตะกอน ทำให้ตะกอนลอยตัวเพื่อคัดแยกทางกายภาพต่อไป [28] ซึ่งทางทีมผู้วิจัยอาศัยประโยชน์จากจุดนี้นำส่วนหนึ่งของระบบมาประยุกต์ในการผลิตไมโครบับเบิล เพื่อเป็นวัตถุดิบสำหรับสังเคราะห์อนุภาคไฮดรอกซิล ซึ่งระบบประกอบด้วยขั้วไฟฟ้า 2 ขั้ว ที่ทำจากเหล็กกล้าไร้สนิม ตั้งไว้ห่างกันในระยะห่างที่เหมาะสมในบีกเกอร์ที่บรรจุสารละลายนำไฟฟ้า และต่อสายไฟเข้ากับแหล่งจ่ายกำลังไฟฟ้ากระแสตรงแรงดันไฟฟ้าสูงสุด 1 kV (ยี่ห้อ EN Technologies รุ่น IDP-1010S ผลิตในประเทศเกาหลีใต้) ดังรูปที่ 1 เมื่อจ่ายพลังงานไฟฟ้าที่เหมาะสม จะทำให้เกิดฟองอากาศในสารละลายปริมาณมากจนกลายเป็นไมโครบับเบิล

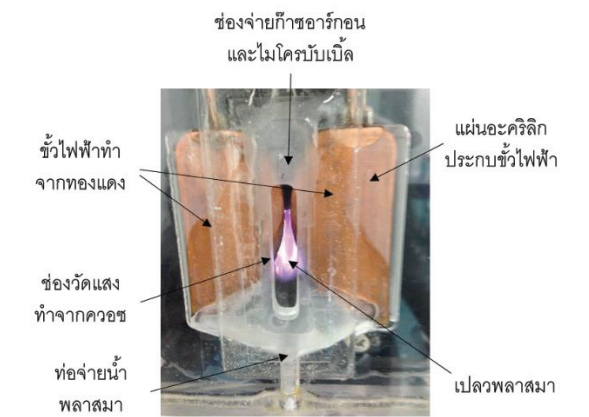


รูปที่ 1 ระบบการผลิตไมโครบับเบิลด้วยวิธีการทำให้ตะกอนลอยด้วยไฟฟ้า

ระบบพลาสมาไหลดิงอาร์กที่แสดงดังรูปที่ 2 ประกอบด้วยส่วนวาล์วปรับก๊าซ ซึ่งเมื่อจ่ายก๊าซอาร์กอน ก๊าซอาร์กอนจะไหลไปตามท่อลงไปในขวดแก้วปิด ซึ่งอาจบรรจุน้ำกลั่นหรือไมโครบับเบิลไว้ ด้วยแรงดันและการระเหยจะทำให้ละอองน้ำไหลออกไปยังขั้วไฟฟ้า ไกลดิงอาร์กที่ต่อกับแหล่งจ่ายกำลังไฟฟ้ากระแสตรงแรงดันสูงสุด 8 kV (ยี่ห้อ F/ART รุ่น IP44 ผลิตในประเทศอิตาลี)



รูปที่ 2 ระบบพลาสมาไหลดิงอาร์ก



รูปที่ 3 ขั้วไฟฟ้าไหลดิงอาร์ก

สำหรับขั้วไฟฟ้าในรูปที่ 3 ประกอบด้วยแผ่นขั้วทองแดงรูปทรงโค้ง 2 ขั้ว วางคู่ออกห่างกันโดยจุดที่ใกล้ที่สุดมีระยะห่าง 3 mm โดยมีแผ่นอะคริลิกประกบกันเพื่อทำหน้าที่เป็นฉนวนไฟฟ้า และให้ขั้วไฟฟ้าเป็นระบบปิดให้ก๊าซไหลผ่านได้เท่านั้น โดยเมื่อเปิดแหล่งจ่ายไฟฟ้า จะเกิดการอาร์กที่บริเวณส่วนที่แคบที่สุดของขั้ว เมื่อก๊าซไหลผ่านจะทำให้เปลวมีขนาดยาวเกิดขึ้นเป็นพลาสมาโซน

เมื่อละอองน้ำไหลผ่านบริเวณดังกล่าวจะเกิดปฏิกิริยาเคมีกลายเป็นน้ำพลาสมาไหลออกมา ซึ่งสามารถนำขวดสีชา มารองรับได้

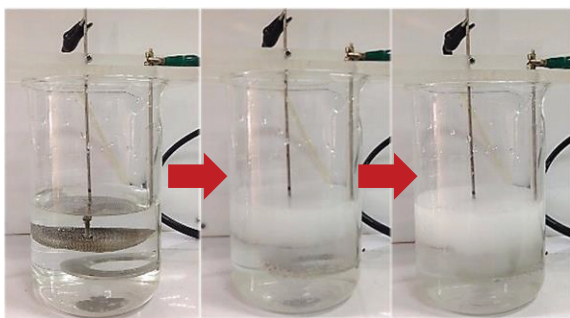
สำหรับการทดลองในงานวิจัยนี้ประกอบด้วย การทดลองหลายส่วน ซึ่งมีรายละเอียดดังนี้

3.1 การศึกษาการสังเคราะห์อนุมูลไฮดรอกซิลในรูป น้ำพลาสมาเบื้องต้น

ส่วนแรกของการทดลองเบื้องต้นผู้วิจัยต้องการยืนยันผลว่าระบบพลาสมาไหลดิงอาร์กที่พัฒนาขึ้นมานั้นสามารถสังเคราะห์อนุมูลไฮดรอกซิลได้จริง จึงได้ทดลองสังเคราะห์อนุมูลไฮดรอกซิลโดยใช้ น้ำกลั่น (ยี่ห้อ โพลสตาร์ ผลิตในประเทศไทย) เป็นวัตถุดิบเติมในขวดแก้วปริมาตร 600 mL โดยจะกำหนดค่ากำลังไฟฟ้า 460 W และปรับอัตราการจ่ายก๊าซอาร์กอนที่อัตรา 10 L/min แล้ววัดผลการทดลองด้วยเครื่องออปติคัลอิมิตชันสเปกโตรมิเตอร์ (ยี่ห้อ Avantes รุ่น AvaSpec-ULS2048CL-EVO ผลิตในประเทศเนเธอร์แลนด์) วัดแสงจากเปลวพลาสมาที่เกิดขึ้น โดยสามารถระบุพีซีส์ที่เกิดขึ้นในสภาวะพลาสมาได้ จึงเป็นวิธีที่ใช้ยืนยันการเกิดอนุมูลไฮดรอกซิลที่ง่ายและสะดวก [29] โดยในระหว่างการเดินเครื่องพลาสมาไหลดิงอาร์ก ผู้วิจัยได้วัดแสงจากเปลวพลาสมาโดยต่อหัวโพรบรับแสงที่บริเวณช่องระหว่างขั้วไฟฟ้า กำหนดระยะเวลาการรวมแสงที่ 5 s และบันทึกค่าที่ได้

หลังจากยืนยันผลแล้ว ส่วนถัดมาผู้วิจัยต้องการทราบว่า การใช้ไมโครบับเบิลเป็นวัตถุดิบแทนน้ำกลั่น ช่วยเพิ่มประสิทธิภาพการสังเคราะห์อนุมูลไฮดรอกซิลหรือไม่ และจะมีการคงอยู่ของอนุมูลเป็นอย่างไร ผู้วิจัยจึงทดลองเปรียบเทียบความแตกต่างกรณีใช้น้ำกลั่น และไมโครบับเบิลเป็นวัตถุดิบ โดยในการผลิตไมโครบับเบิลจะใช้วิธีการทำให้ตะกอนลอยด้วยไฟฟ้า ซึ่งเป็นวิธีการผลิตไมโครบับเบิลที่สะดวกรวดเร็ว แต่จำเป็นต้องใช้สารละลายที่นำไฟฟ้าในการผลิต [28] ซึ่งผู้วิจัยได้ใช้สารโซเดียมไบคาร์บอเนต (ยี่ห้อ Mcgarrett ผลิตในประเทศไทย) ซึ่งเป็นสารเจือปนอาหารในการทำให้

น้ำกลั่นสามารถนำไฟฟ้าได้ โดยผู้วิจัยได้เติมสารโซเดียมไบคาร์บอเนต 4.2 g ลงในน้ำกลั่น 1 L หย่อนขั้วไฟฟ้าทั้ง 2 ขั้วลงไปในสารละลายโซเดียมไบคาร์บอเนต โดยกำหนดระยะห่างขั้ว 4 เซนติเมตร จากนั้นต่อสายไฟฟ้าและตรวจสอบความเรียบร้อยของอุปกรณ์ จากนั้นจึงทำการเปิดสวิทช์เครื่อง กำหนดแรงดันไฟฟ้าที่ 45 V โดยเดินเครื่องเป็นระยะเวลา 10 min โดยเมื่อเริ่มเดินเครื่องจะเกิดฟองอากาศขนาดจุลภาคจำนวนมากจนกลายเป็นไมโครบับเบิ้ลภายในปิกเกอร์ดังรูปที่ 4 เมื่อผลิตไมโครบับเบิ้ลเสร็จแล้วจึงนำไปผลิตน้ำพลาสมาเปรียบเทียบกับการใช้ น้ำกลั่น โดยจะกำหนดเงื่อนไขการทดลองไว้เท่ากันทั้งสองกรณี คือ กำลังไฟฟ้า 460 W อัตราการจ่ายก๊าซอาร์กอน 10 L/min โดยทดลองซ้ำ 3 ครั้ง สำหรับการวัดผลการทดลองทั้ง 2 กรณี จะเปรียบเทียบด้วยการวัดความเข้มข้นของไฮโดรเจนเปอร์ออกไซด์ด้วยชุดทดสอบเปอร์ออกไซด์ (ยี่ห้อ QUANTOFIX® รุ่น Peroxide 25) ซึ่งเป็นวิธีวัดทางอ้อม เนื่องจากอนุมูลไฮดรอกซิลเป็นสารที่ไม่เสถียร มีการสลายตัวอยู่ตลอดเวลา ซึ่งสารไฮโดรเจนเปอร์ออกไซด์เป็นรูปที่เสถียรที่เกิดจากอนุมูลไฮดรอกซิลทำปฏิกิริยากันเอง ดังสมการที่ 9 จึงสามารถใช้ประมาณแนวโน้มอนุมูลไฮดรอกซิลที่เกิดขึ้นได้ โดยหากจุ่มแผ่นทดสอบลงในน้ำพลาสมาที่ประกอบด้วยไฮโดรเจนเปอร์ออกไซด์ แผ่นทดสอบจะเปลี่ยนสีจากสีขาวเป็นสีน้ำเงิน ยิ่งสีน้ำเงินเข้มหมายถึงมีความเข้มข้นไฮโดรเจนเปอร์ออกไซด์สูง โดยที่มีสีมาตรฐานสำหรับเปรียบเทียบที่ข้างบรรจุภัณฑ์



รูปที่ 4 การผลิตไมโครบับเบิ้ล
ด้วยวิธีการทำให้ตะกอนลอยด้วยไฟฟ้า

หลังจากที่ทดลองเสร็จ ผู้วิจัยจึงเลือกวัตถุดิบมาทดลองสังเคราะห์อนุมูลไฮดรอกซิลใหม่โดยใช้เงื่อนไขที่ดีกว่า ผลิตน้ำพลาสมาใส่ขวดแก้วประมาณ 5 mL แล้วตรวจวัดไฮโดรเจนเปอร์ออกไซด์ทันทีที่ผลิตเสร็จ และตรวจวัดอย่างต่อเนื่องที่ระยะเวลา 2, 5, 10, 30, 60, 120 min โดยระหว่างการวัดซ้ำจะปิดฝาทุกครั้งหลังตรวจวัดเสร็จ และมีการบันทึกภาพแผ่นทดสอบด้วยทุกครั้ง

3.2 การทดลองเพื่อสมการทำนายความเข้มข้นของกรดไฮดรอกซิลเทรฟทาลิก

ก่อนการทดลองคัดกรองปัจจัยที่มีนัยสำคัญ จำเป็นต้องสร้างสมการสำหรับแปลงค่าการดูดกลืนแสงกรดไฮดรอกซิลเทรฟทาลิกที่วัดด้วยวิธีการดักจับอนุมูลกลับเป็นค่าความเข้มข้นของกรดไฮดรอกซิลเทรฟทาลิกในหน่วยหนึ่งส่วนในล้านส่วน (ppm) ก่อนที่จะนำไปวิเคราะห์ทางสถิติ

การทดลองเริ่มจากการเติมน้ำกลั่น 10 mL ลงในหลอดทดลองขนาดเล็ก แล้วเติมสารกรดไฮดรอกซิลเทรฟทาลิกสำเร็จรูปเกรดมาตรฐาน (ยี่ห้อ Sigma-Aldrich ผลิตในประเทศสหรัฐอเมริกา) 1 mg ลงในหลอดทดลองดังกล่าว ซึ่งทำให้สารละลายกรดไฮดรอกซิลเทรฟทาลิกมีความเข้มข้น 100 ppm จากนั้นจึงดูดสารละลายใส่คิวเวทแล้วนำไปวัดค่าการดูดกลืนแสงด้วยเครื่องสเปกโทรโฟโตมิเตอร์ (ยี่ห้อ BOECO ผลิตในประเทศเยอรมัน) ที่ค่าความยาวคลื่น 310 nm โดยทำซ้ำ 3 ครั้ง จากนั้นจึงทำการเจือจางสารละลายโดยการเติมน้ำกลั่น และทดลองซ้ำที่ความเข้มข้น 50, 25, 10, 5 ppm ตามลำดับ จากนั้นจึงนำค่าเฉลี่ยของค่าดูดกลืนแสงที่ความเข้มข้นต่าง ๆ มาสร้างสมการ

3.3 การทดลองคัดกรองปัจจัยที่มีนัยสำคัญ

ในการทดลองศึกษาเพื่อหาปัจจัยที่มีนัยสำคัญนั้น ผู้วิจัยคัดเลือกปัจจัยมาทดสอบจากกระบวนการผลิตไมโครบับเบิ้ล 3 ปัจจัย คือ ปริมาณโซเดียมไบคาร์บอเนต ระยะห่างระหว่างขั้วไฟฟ้า และระยะเวลาลิสซาร์จ และเป็นปัจจัยจากระบบโกลดิงอาร์ก 3 ปัจจัย คือ กำลังไฟฟ้า อัตราการจ่ายก๊าซอาร์กอน และอัตราส่วนการผสมก๊าซ

ออกซิเจน ผู้วิจัยใช้แผนการทดลองแบบแฟกทอเรียลเชิงเศษส่วน ทดลองจริงหนึ่งในสี่ส่วนจากแฟกทอเรียลเต็มจำนวน โดยการทดลองมีทั้งสิ้น $2^{6-2} \times 2 = 32$ การทดลอง ซึ่งสามารถลดการใช้ทรัพยากรในการทดลองได้มาก ในขณะที่การวิเคราะห์ผลยังสามารถทำได้อย่างมีประสิทธิภาพ โดยสามารถแสดงรายละเอียดการทดลองและการกำหนดสัญลักษณ์ได้ดังตารางที่ 2

ตารางที่ 2 การออกแบบการทดลองเพื่อคัดกรองปัจจัยที่มีนัยสำคัญ

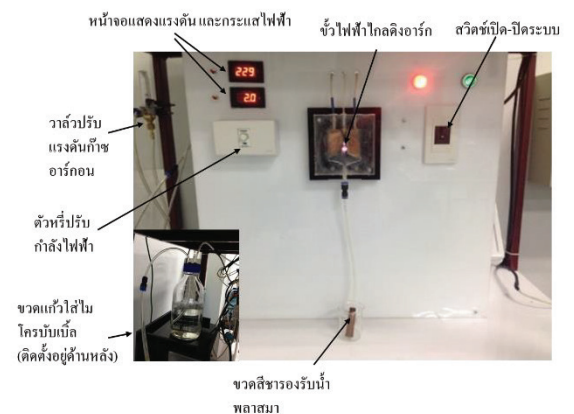
ปัจจัยที่สนใจศึกษา	ค่าพารามิเตอร์		หน่วย
	ค่าต่ำสุด (-)	ค่าสูงสุด (+)	
ระยะเวลา (A)	5	15	min
ปริมาณโซเดียมไบคาร์บอเนต (B)	2.1	4.2	g
ระยะห่างขั้วไฟฟ้า (C)	2	4	cm
อัตราการจ่ายอาร์กอน (D)	5	9	L/min
อัตราส่วนการผสมก๊าซออกซิเจน (E)	0	1	% Ar
กำลังไฟฟ้า (F)	270	460	W

ผู้วิจัยได้สร้างแผนการทดลองแฟกทอเรียลเชิงเศษส่วนด้วยโปรแกรม MINITAB โดยได้ตัวเลขแสดงคุณสมบัติของตารางออกแบบการทดลอง คือ Resolution IV (2^{IV}_{6-2}) ซึ่งหมายถึงผลกระทบหลักจะปะปนกับผลกระทบร่วมสามทาง และผลกระทบร่วมสองทางจะปะปนกันเอง ลำดับของการทดลองเป็นแบบสุ่มอย่างสมบูรณ์ และการทดลองมีระดับความเชื่อมั่นที่ 95%

การทดลองแต่ละเงื่อนไขเริ่มจากการเตรียมสารละลายกรดเทรฟทาลิก ซึ่งไม่ละลายน้ำแต่จะละลายในเบสแก่ โดยเติมน้ำกลั่นลงในบีกเกอร์แก้ว 125 mL แล้วเติมสารโซเดียมไฮดรอกไซด์ (ยี่ห้อ RCI Labscan ผลิตในประเทศญี่ปุ่น) 5 g แล้วจึงค่อย ๆ เติมกรดเทรฟทาลิก (ยี่ห้อ Sigma-Aldrich ผลิตในประเทศสหรัฐอเมริกา) 8.3 g จากนั้นกวนด้วยเครื่องกวนแม่เหล็กจนสารละลายเป็นเนื้อเดียวกัน

จากนั้นจึงเตรียมตัวอย่างสำหรับใช้เทียบค่าดูดกลิ่นแสง โดยเติมน้ำกลั่นลงในบีกเกอร์แก้ว 1 L และเติมสารโซเดียมไบคาร์บอเนตตามเงื่อนไขการทดลองจนสารละลายจนเป็นเนื้อเดียวกัน จากนั้นใช้ไมโครปิเปตดูดสารละลายโซเดียมไบคาร์บอเนตและสารละลายกรดเทรฟทาลิกมาใส่ในขวดสีชาในอัตราส่วน 1 : 1 ปิดฝาขวดและเขย่าให้เข้ากัน เก็บไว้ในที่พื้นแสง โดยทำการเตรียมตัวอย่างควบคุมจำนวน 5 ตัวอย่างต่อหนึ่งเงื่อนไข

ถัดมานำสารละลายโซเดียมไบคาร์บอเนตที่เหลือมาผลิตไมโครบับเบิล โดยกำหนดแรงดันไฟฟ้าที่ 45 V และเดินเครื่องเป็นระยะเวลาตามที่เงื่อนไขการทดลองกำหนดไว้ เสร็จแล้วจึงไมโครบับเบิลลงในขวดแก้วปริมาณ 750 mL และนำไปต่อฟุ้งกับระบบพลาสมา-ไกลดิงอาร์ก แล้วจึงเปิดวาล์วท่อจ่ายก๊าซอาร์กอนและออกซิเจน โดยปรับอัตราการจ่ายก๊าซตามเงื่อนไขที่กำหนดไว้แล้วจึงทำการเปิดสวิตช์เครื่อง และปรับกำลังไฟฟ้าตามเงื่อนไขการทดลอง โดยจะทำการอุ่นเครื่อง 5 min เมื่อครบเวลาแล้วจะนำท่อน้ำออกต่อกับขวดสีชา ผลิตจนได้ประมาณ 40% ของขวด จึงทำการปิดเครื่องและเขย่าสารให้เข้ากัน จากนั้นทำการทดสอบเพอร์ออกไซด์โดยการสังเคราะห์อนุมูลไฮดรอกซิลในรูปน้ำพลาสมาสามารถแสดงกระบวนการได้รูปที่ 5 เสร็จแล้วจึงดูค่าน้ำพลาสมาจากขวดสีชาขวดเดิมใส่ขวดสีชาขวดใหม่ 3 mL และดูดูสารละลายกรดเทรฟทาลิกใส่ขวดสีชา 3 mL ปิดฝาและเขย่าให้เข้ากัน จากนั้นเขียนฉลากติดขวดและนำไปเก็บในกล่อง และนำอุปกรณ์ไปทำความสะอาดด้วยน้ำกลั่น แล้วเช็ดด้วยแอลกอฮอล์ เพื่อให้พร้อมใช้งานในการทดลองเงื่อนไขถัดไป



รูปที่ 5 การสังเคราะห์อนุภาคไฮดรอกซิลในรูปน้ำพลาสติกด้วยวิธีพลาสติกโพลดิ้งอาร์ก

เมื่อทดลองเสร็จจึงนำตัวอย่างไปวัดค่าคลอโรฟลูออเรสเซนซ์ที่ภาควิชาจุลชีววิทยา ชั้น 8 อาคาร SCB2 คณะวิทยาศาสตร์ มหาวิทยาลัยเชียงใหม่ โดยในการวัดผู้วิจัยใช้วิธีวัดซ้ำ 1 เดือนไปเทียบกับ 5 ตัวอย่างควบคุม และการวัดเทียบกับสารละลายควบคุมจะวัดสารละลายครั้งละ 3 mL 2 ครั้ง โดยแต่ละครั้งจะทำการวัดซ้ำ 2 รอบ โดยสรุปแล้ว 1 เดือนไปการทดลองจะได้ค่าวัดทั้งหมด $5 \times 2 \times 2 = 20$ ค่า ซึ่งจะนำค่าทั้ง 20 ค่านี้นมาเฉลี่ยให้กลายเป็นค่าเดียว

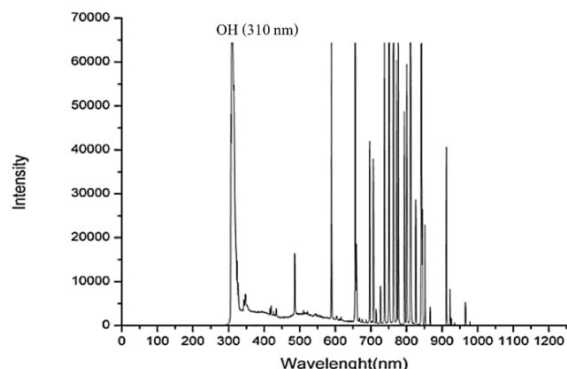
หลังจากวัดค่าคลอโรฟลูออเรสเซนซ์ครบทุกเดือนไป จึงนำค่าวัดดังกล่าวไปหาค่าเฉลี่ย แล้วนำค่าเฉลี่ยของแต่ละเดือนไปแทนค่า y ในสมการ $y = 0.0148x$ แล้วแก้สมการหาค่า x ออกมาเป็นความเข้มข้นของกรดไฮดรอกซิลเทรฟ-ทาลิกในหน่วย ppm เสร็จแล้วจึงนำผลลัพธ์ที่ได้ไปปกรอกในโปรแกรม MINITAB เพื่อวิเคราะห์ผล

4. ผลการศึกษาวิจัย

4.1 ผลการศึกษาการสังเคราะห์อนุภาคไฮดรอกซิลในรูปน้ำพลาสติกเบื้องต้น

ผลการทดลองในส่วนแรกหลังจากได้วัดความเข้มแสงที่เกิดขึ้นด้วยเครื่องออปติคัลอิมมิตชันสเปกโตรมิเตอร์สามารถแสดงผลการวัดได้ดังรูปที่ 6 พบว่าในการสังเคราะห์อนุภาคไฮดรอกซิลโดยจ่ายก๊าซอาร์กอนที่อัตรา 10 L/min มีค่าความเข้มแสงที่ความยาวคลื่น 310 nm

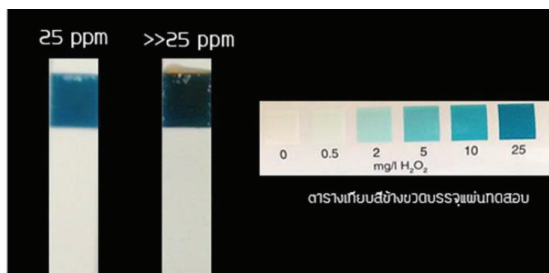
เกิดขึ้นสูง ซึ่งค่าพีคดังกล่าวแสดงถึงการเกิดอนุภาคไฮดรอกซิลในสภาวะพลาสติกปริมาณมาก [29]



รูปที่ 6 ผลการวัดแสงพลาสติกด้วยออปติคัลอิมมิตชันสเปกโตรมิเตอร์

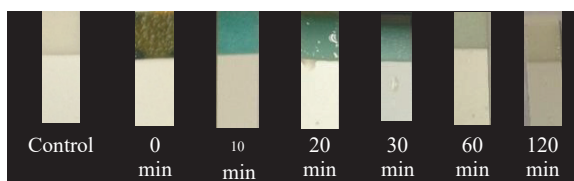
ดังนั้นจึงหมายความว่า ระบบพลาสติกโพลดิ้งอาร์กสามารถสังเคราะห์อนุภาคไฮดรอกซิลได้จริง

ผลการทดลองในส่วนถัดมา พบว่าในกรณีที่ใช้ น้ำกลั่นเป็นวัตถุดิบในการสังเคราะห์อนุภาคไฮดรอกซิลจะได้ค่าความเข้มข้นของไฮโดรเจนเพอร์ออกไซด์ประมาณ 25 ppm แต่เมื่อนำไมโครบับเบิลมาใช้พบว่าความเข้มข้นของไฮโดรเจนเพอร์ออกไซด์มากกว่า 25 ppm โดยสังเกตจากสีของแผ่นทดสอบดังรูปที่ 7 ทั้งนี้ผลการทดลองได้สอดคล้องกับงานวิจัยของ [25] ที่กล่าวว่าไมโครบับเบิลจะช่วยเพิ่มพื้นที่ผิวที่ผิวร่วมระหว่างสถานะของเหลวและก๊าซ ช่วยให้อนุภาคไฮดรอกซิลที่เกิดขึ้นในพลาสติกก๊าซสามารถละลายลงน้ำพลาสติก ซึ่งเป็นของเหลวได้ดีขึ้น นอกจากนี้ตัวไมโครบับเบิลเองสามารถสังเคราะห์อนุภาคไฮดรอกซิลได้ด้วยกลไกการสลายตัวเอง ดังนั้นการใช้ไมโครบับเบิลจึงช่วยเพิ่มประสิทธิภาพในการสังเคราะห์อนุภาคไฮดรอกซิลทั้งทางตรงและทางอ้อม



รูปที่ 7 การทดสอบเปอร์ออกไซด์ครีนิใช้น้ำกลั่น (ซ้าย) และใช้ ไมโครบับเบิล (ขวา) เป็นวัตถุดิบ

ผลการทดลองในส่วนสุดท้าย พบว่าเมื่อใช้แผ่นทดสอบเปอร์ออกไซด์วัดน้ำพลาสติกที่ผลิตได้ แผ่นทดสอบมีสีเข้มมากกว่าที่แผ่นทดสอบรองรับได้ โดยแผ่นทดสอบสามารถตรวจวัดความเข้มข้นของไฮโดรเจนเปอร์ออกไซด์ได้ตั้งแต่ 0-25 ppm ดังนั้นหมายความว่า ในน้ำพลาสติกมีความเข้มข้นของไฮโดรเจนเปอร์ออกไซด์มากกว่า 25 ppm มาก ซึ่งต่อมาเมื่อวัดซ้ำที่ช่วงเวลา 10 min พบว่ามีความเข้มข้นของไฮโดรเจนเปอร์ออกไซด์ 25 ppm และที่ 20 min เหลือเพียง 5 ppm และยังคงลดลงอย่างต่อเนื่อง จนกระทั่งเมื่อผ่านไป 120 min ความเข้มข้นเหลือน้อยกว่า 0.1 ppm ดังรูปที่ 8 โดยการทดลองทั้ง 3 ครั้งภายใต้เงื่อนไขเดิมให้ผลการทดลองที่ใกล้เคียงกัน จึงสรุปได้ว่าการสังเคราะห์อนุภาคไฮดรอกซิลภายใต้เงื่อนไขดังกล่าวอนุภาคไฮดรอกซิลที่อยู่ในรูปไฮโดรเจนเปอร์ออกไซด์จะมีแนวโน้มความเข้มข้นลดลงและจะคงอยู่ในน้ำพลาสติกได้ประมาณ 120 min



รูปที่ 8 แผ่นทดสอบเปอร์ออกไซด์ที่เวลาต่าง ๆ

4.2 ผลการทดลองการสร้างสรรค์สมการทำนายความเข้มข้นของกรดไฮดรอกซิลเทรฟทาสิก

เมื่อนำข้อมูลที่ได้จากการวัดมาเข้าสมการในโปรแกรม MS Excel พบว่าความสัมพันธ์ที่ได้นั้นมีลักษณะเป็นแบบเชิงเส้นพบว่าสมการที่ได้คือ

$$y = 0.0148x \quad (12)$$

ซึ่ง X คือ ความเข้มข้นของกรดไฮดรอกซิลเทรฟทาสิก ในหน่วย ppm และ y คือ ค่าการดูดกลืนแสง ผลทดสอบค่าความเชื่อมั่นของโมเดลพบว่า มีค่าสัมประสิทธิ์การตัดสินใจ R-Square เท่ากับ 99.62% ดังนั้น สมการนี้จึงสามารถนำไปใช้ทำนายได้

4.3 ผลการทดลองเพื่อคัดกรองปัจจัยที่มีนัยสำคัญ

หลังจากทำการทดลองและวัดผลเสร็จสิ้นครบทั้ง 32 ตัวอย่าง แล้วจึงข้อมูลไปแทนในสมการที่ 12 พบว่าค่าเฉลี่ยความเข้มข้นของกรดไฮดรอกซิลเทรฟทาสิกมีค่าเท่ากับ 6.190 ppm โดยที่ความเข้มข้นของไฮโดรเจนเปอร์ออกไซด์แต่ละการทดลองมีค่าประมาณ 10-25 ppm จากนั้นจึงนำผลลัพธ์ที่ได้ไปวิเคราะห์ความแปรปรวนด้วยโปรแกรม MINITAB โดยกำหนดผลตอบ คือ ค่าความเข้มข้นของกรดไฮดรอกซิลเทรฟทาสิก ได้ผลลัพธ์ดังตารางที่ 3

ตารางที่ 3 ผลการวิเคราะห์ความแปรปรวน

ปัจจัยแฝง	F-Value	P-Value
LA	0.23	0.637
LB	28.55	0.000
LC	36.70	0.000
LD	91.79	0.000
LE	5.40	0.034
LF	4.24	0.056

ปัจจัยในตารางที่ 3 จะเป็นปัจจัยแฝงที่ประกอบด้วยปัจจัยชนิดอื่นปะปนกันอยู่ โดยสามารถระบุส่วนประกอบของปัจจัยแฝงได้จากโครงสร้างปัจจัยแฝง ดังตารางที่ 4

ตารางที่ 4 โครงสร้างปัจจัยแฝง

ปัจจัยแฝง	โครงสร้างปัจจัยแฝง
LA	A + BCE + DEF + ABCDEF
LB	B + ACE + CDF + ABDEF
LC	C + ABE + BDF + ACDEF
LD	D + AEF + BCF + ABCDE
LE	E + ABC + ADF + BCDEF
LF	F + ADE + BCD + ABCEF

จากตารางที่ 3 การวิเคราะห์ความแปรปรวนพบว่า ปัจจัยแฝง L_B , L_C , L_D , L_E มีค่า P-Value < 0.05 ดังนั้น ปัจจัยแฝงดังกล่าวจึงมีนัยสำคัญ ซึ่งเมื่อพิจารณาตารางที่ 4 พบว่าปัจจัยแฝงกลุ่มดังกล่าวประกอบด้วย การปนกันของ ผลกระทบระหว่างปัจจัยหลัก ปัจจัยร่วม 3 และ 5 ทาง ซึ่ง ปัจจัยที่มีนัยสำคัญนั้นจะมาจากปัจจัยอันดับต้น ซึ่งก็คือ ปัจจัยหลัก จึงสามารถสรุปได้ว่าปัจจัยที่ส่งผลกระทบต่อ สัณเคราะห์ห้อนุมูลไฮดรอกซิลอย่างมีนัยสำคัญ คือ ปริมาณ โซเดียมไบคาร์บอเนต (B) ระยะห่างระหว่างขั้วไฟฟ้า (C) อัตราการจ่ายก๊าซอาร์กอน (D) และอัตราส่วนการผสมก๊าซ ออกซิเจน (E)

5. สรุปงานวิจัย

งานวิจัยนี้เกี่ยวข้องกับการทดลองเพื่อศึกษาการ สัณเคราะห์ห้อนุมูลไฮดรอกซิลในน้ำพลาสมาด้วยวิธี พลาสมาโกลดิงอาร์ก และหาปัจจัยที่ส่งผลกระทบต่อ ประสิทธิภาพของอนุมูลไฮดรอกซิลอย่างมีนัยสำคัญ โดยใน การทดลองจะเริ่มจากการศึกษาการ สัณเคราะห์ห้อนุมูล ไฮดรอกซิลที่เงื่อนไขต่างๆ และหาพฤติกรรมการคงอยู่ ของอนุมูลไฮดรอกซิล หลังจากนั้นจึงทำการทดลองเพื่อ คัดกรองปัจจัยที่มีนัยสำคัญ โดยพบว่า มี 4 ปัจจัย ได้แก่ ปริมาณโซเดียมไบคาร์บอเนต ระยะห่างระหว่างขั้วไฟฟ้า อัตราการจ่ายก๊าซอาร์กอน และอัตราส่วนการผสมก๊าซ ออกซิเจน

6. ข้อเสนอแนะ

ระบบการวัดอนุมูลไฮดรอกซิลในงานวิจัยนี้เป็นการ วัดทางอ้อม ซึ่งเป็นการประมาณอนุมูลไฮดรอกซิล โดย

อ้างอิงจากความเข้มข้นของกรดไฮดรอกซิลเทเลฟทาลิก และไฮโดรเจนเปอร์ออกไซด์ ซึ่งไม่ได้วัดอนุมูลไฮดรอก- ซิลโดยตรง จึงทำให้ทราบเพียงแนวโน้มและปัจจัยที่ส่งผล เท่านั้น หากต้องการทราบความเข้มข้นของอนุมูลไฮดรอก- ซิลในน้ำพลาสมาโดยละเอียด จำเป็นต้องใช้วิธีอื่นในการวัด เพิ่มเติม และในการทดลองเมื่อสังเคราะห์ห้อนุมูลไฮดรอกซิล เสรีจควรวัดค่าทันที เพื่อลดความคลาดเคลื่อนที่เกิดขึ้น

ในอนาคตสามารถนำงานวิจัยนี้ไปศึกษาต่อได้อีก หลายรูปแบบ เช่น การศึกษาหาเงื่อนไขการทดลองที่ดีที่สุด ในการสังเคราะห์ห้อนุมูลไฮดรอกซิลในรูปน้ำพลาสมาด้วย วิธีพลาสมาโกลดิงอาร์กที่ใช้ไมโครบับเบิลที่ผลิตด้วย วิธีทำให้ตะกอนลอยด้วยไฟฟ้า หรือการศึกษา ผลกระทบต่อประสิทธิภาพการสังเคราะห์ห้อนุมูลไฮดรอก- ซิลเมื่อใช้ไมโครบับเบิลที่ผลิตด้วยวิธีอื่นเป็นวัตถุดิบ เมื่อ ใช้ก๊าซชนิดอื่นจ่ายเข้าระบบ หรือเมื่อใช้แหล่งจ่าย กำลังไฟฟ้าชนิดอื่น หรือการปรับปรุงระบบให้มีกำลังการผลิตสูงขึ้น โดยที่ยังคงไว้ซึ่งคุณภาพของน้ำพลาสมา ซึ่งจะ เป็นการพัฒนาระบบพลาสมาให้มีประสิทธิภาพดีขึ้นจน สามารถนำไปใช้จริงในอุตสาหกรรมได้

7. กิตติกรรมประกาศ

ผู้วิจัยขอขอบคุณสำนักงานพัฒนาการวิจัยการเกษตร ที่สนับสนุนทุนอุดหนุนงานวิจัย และขอขอบคุณคณาจารย์ เจ้าหน้าที่ คณะวิศวกรรมศาสตร์ และคณะวิทยาศาสตร์ มหาวิทยาลัยเชียงใหม่ ที่ให้คำแนะนำและเอื้อเฟื้อ เครื่องมืออุปกรณ์ในการทำวิจัย

เอกสารอ้างอิง

- [1] Thai-Pan. เอกสารประกอบการประชุมวิชาการเพื่อเตือนภัยสารเคมีกำจัดศัตรูพืชประจำปี 2558. การประชุม วิชาการเพื่อเตือนภัยสารเคมีกำจัดศัตรูพืช: เครือข่ายเตือนภัยสารเคมีกำจัดศัตรูพืช, 2558.
- [2] สำนักงานสาธารณสุขจังหวัดลำปาง. ส้างผักผลไม้ลดสารพิษตกค้าง. 2558.
- [3] Hu, Y., Bai, Y., Li, X. and Chen, J. Application of Dielectric Barrier Discharge Plasma for Degradation and Pathways of Dimethoate in Aqueous Solution. *Separation and Purification Technology*. 2013; 120: 191-7.

- [4] Xu, Y., Tian, Y., Ma, R., Liu, Q. and Zhang, J. Effect of Plasma Activated Water on the Postharvest Quality of Button Mushrooms, *Agaricus Bisporus*. *Food Chemistry*. 2016; 197(4): 36-44.
- [5] Cheng, M., Zeng, G., Huang, D., Lai, C., Xu, P., Zhang, C. and Liu, Y. Hydroxyl Radicals Based Advanced Oxidation Processes (Aops) for Remediation of Soils Contaminated with Organic Compounds: A Review. *Chemical Engineering Journal*. 2016; 284: 582-98.
- [6] Moreau, M., Orange, N. and Feuilleley, M.G.J. Non-Thermal Plasma Technologies: New Tools for Bio-Decontamination. *Biotechnology Advances*. 2008; 26(6): 610-7.
- [7] Li, X., Wang, T., Qu, G., Liang, D. and Hu, S. Enhanced Degradation of Azo Dye in Wastewater by Pulsed Discharge Plasma Coupled with Mwcnts-Tio₂/γ-Al₂O₃ Composite Photocatalyst. *Journal of Environmental Management*. 2016; 172: 186-92.
- [8] Kang, J., Li, O.L. and Saito, N. Synthesis of Structure-Controlled Carbon Nano Spheres by Solution Plasma Process. *Carbon*. 2013; 60: 292-8.
- [9] Yamamoto, M., Nishioka, M. and Sadakata, M. Sterilization by H₂O₂ Droplets under Corona Discharge. *Journal of Electrostatics*. 2002; 55(2): 173-87.
- [10] Attri, P., Kim, Y.H., Park, D.H., Park, J.H., Hong, Y.J., Uhm, H.S., Kim, K.N., Fridman, A. and Choi, E.H. Generation Mechanism of Hydroxyl Radical Species and Its Lifetime Prediction During the Plasma-Initiated Ultraviolet (UV) Photolysis. *Scientific Reports*. 2015; 5: 9332.
- [11] Ma, R., Wang, G., Tian, Y., Wang, K., Zhang, J. and Fang, J. Non-Thermal Plasma-Activated Water Inactivation of Food-Borne Pathogen on Fresh Produce. *Journal of Hazardous Materials*. 2015; 300: 643-651.
- [12] Sarangapani, C., Misra, N.N., Milosavljevic, V., Bourke, P., O'Regan, F. and Cullen, P.J. Pesticide Degradation in Water Using Atmospheric Air Cold Plasma. *Journal of Water Process Engineering*. 2016; 9: 225-32.
- [13] El-Aragi, G.M. Gliding Arc Discharge (GAD) Experiment. 2009; [Online] Available: <https://www.ispc-conference.org/ispcproc/papers/3.pdf>
- [14] Kim, H.S., Cho, Y.I., Hwang, I.H., Lee, D.H., Cho, D.J., Rabinovich, A. and Fridman, A. Use of Plasma Gliding Arc Discharges on the Inactivation of E. Coli in Water. *Separation and Purification Technology*. 2013; 120: 423-8.
- [15] Scholtz, V., Pazlarova, J., Souskova, H., Khun, J. and Julak, J. Nonthermal Plasma - A Tool for Decontamination and Disinfection. *Biotechnology Advances*. 2015; 33(6, Part 2): 1108-1119.
- [16] Sun, S.R., Wang, H.X., Mei, D.H., Tu, X. and Bogaerts, A. CO₂ Conversion In A Gliding Arc Plasma: Performance Improvement Based on Chemical Reaction Modeling. *Journal of CO₂ Utilization*. 2017; 17: 220-34.
- [17] Fridman, A., Nester, S., Kennedy, L.A., Saveliev, A. and Mutaf-Yardimci, O. Gliding Arc Gas Discharge. *Progress in Energy and Combustion Science*. 1999; 25(2): 211-231.
- [18] Jiang, B., Zheng, J., Qiu, S., Wu, M., Zhang, Q., Yan, Z. and Xue, Z. Review on Electrical Discharge Plasma Technology for Wastewater Remediation. *Chemical Engineering Journal*. 2014; 236: 348-368.
- [19] El-Zein, E., Talaat, M., El-Aragi, G. and El-Amawy, A. Experimental Model to Study the Characteristics of Gliding Arc Plasma Reactor with Argon/Nitrogen. *Journal of Electrical Engineering*, 2015; 15: 64-67
- [20] Kozáková, Z. Electric Discharges in Water Solutions. Brno: Brno University of Technology, 2011.
- [21] Lin, Z-R., Zhao, L. and Dong, Y-H. Quantitative Characterization of Hydroxyl Radical Generation in a Goethite-Catalyzed Fenton-Like Reaction. *Chemosphere*. 2015; 141: 7-12.
- [22] Keswani, M., Raghavan, S., Govindarajan, R. and Brown, I. Measurement of Hydroxyl Radicals in Wafer Cleaning Solutions Irradiated with Megasonic Waves. *Microelectronic Engineering*. 2014; 118: 61-5.
- [23] Hirakawa, T., Yawata, K. and Nosaka, Y. Photocatalytic Reactivity for O₂⁻ and OH Radical Formation in Anatase and Rutile TiO₂ Suspension as the Effect of H₂O₂ Addition. *Applied Catalysis A: General*. 2007; 325(1): 105-11.

- [24] Tesář, V. Microbubble Generation by Fluidics PART I: Development of the Oscillator. Colloquium FLUID DYNAMICS 2012, Institute of Thermomechanics AS CR, v.v.i., Prague, October 24 - 26, 2012.
- [25] Parmar, R. and Majumder, S.K. Microbubble Generation and Microbubble-Aided Transport Process Intensification - A State-of-the-Art Report. *Chemical Engineering and Processing: Process Intensification*. 2013; 64: 79-97.
- [26] Marui, T. An Introduction to Micro/Nano-Bubbles and their Applications. *SYSTEMICS, CYBERNETICS AND INFORMATICS*, 2013; 11(4): 68-73.
- [27] สุทัศน์ ณ อยุธยา, ป., เหลืองไพฑูริย์ พ. การออกแบบและวิเคราะห์การทดลองลง. กรุงเทพฯ: ท้อป, 2551.
- [28] Kyzas, G.Z. and Matis, K.A. Electroflotation Process: A Review. *Journal of Molecular Liquids*. 2016; 220: 657-64.
- [29] Kanazawa, S. and Furuki, T. Measurement of OH Radicals in Aqueous Solution Produced by Atmospheric-pressure LF Plasma Jet. *International Journal of Plasma Environmental Science and Technology*, 2012; 6(2):166-171.